论著

CT肺小血管与肺截面积比值与COPD患者肺功能指标的相关性分析

广东省茂名市人民医院放射科 (广东 茂名 525000)

王文尚

【摘要】目的 探讨基于CT定量分析的肺 小血管与肺截面积比值(%CSA)与慢性阻 塞性肺疾病(COPD)患者肺功能指标的相 关性。方法 回顾性分析80例行CT胸部 平扫的COPD患者及40名正常对照者的资 料。所有COPD患者均行肺功能检查,并根 据肺功能指标将COPD患者分为轻度组(26 例)、中度组(27例)、重度组(27例)3个 亚组。采用ImageJ图像后处理软件测量 基于CT下的%CSA(肺小血管的截面积<5mm2 和5-10mm²分别标记为%CSA<5和%CSA₅₋₁₀) 数据。采用单因素方差分析比较COPD各 亚组间及其与对照组的%CSA<5、%CSA5-10 以及肺功能指标,采用Spearman相关分 析%CSA<5和%CSA5-10与肺功能指标的相关 性。结果 COPD轻度组、中度组以及重度 组的%CSA<5, 显著低于对照组, 差异有 统计学意义(P<0.05), 且不同程度COPD 患者之间的%CSA<5值均存在显著性差异 (P<0.05); COPD中度组、重度组的%CSA5-10, 显著低于对照组和轻度组, 差异有统 计学意义(P<0.05); COPD患者的%CSA<5 与FEV1%、FEV1/FVC%呈显著正相关 (r=0.982, 0.988 P=0.018, 0.012), 与 RV和RV/TLC%呈显著负相关(r=-0.946, -0.962 P = 0.044, 0.028); COPD患者 的%CSA5-10与FEV1%、FEV1/FVC%呈显 著正相关(r=0.963, 0.975 P=0.037, 0.025), 与FVC、RV和RV/TLC%无显著相 关性。结论 基于CT定量分析的%CSA<5 和%CSA5-10与COPD患者的肺功能有一定的 相关性,且在评估COPD患者肺功能及疾病 严重程度方面%CSA<5优于%CSA5-10。

【关键词】肺疾病,慢性阻塞性; 呼吸功能试验; 体层摄影术, X线计算机

【中图分类号】R563.3; R445.3 【文献标识码】A

DOI: 10.3969/j.issn.1672-5131.2017.07.017

通讯作者: 王文尚

Relationship Between the Percentage of the Totalcross-sectional Area of Smallpulmonary Vessels for the Lung Area in MSCT and Pulmonary Function Test in Chronic Obstructive Pulmonary Disease

WANG Wen-shang. Department of Radiology, Maiming People's Hospital, Maoming 525000, Guangdong Province, China

[Abstract] Objective The relationship between the percentage of the total cross-sectional area (%CSA) of small pulmonary vessels for the lung area in MSCT and pulmonary function test(PET) in chronic obstructive pulmonary disease(COPD). *Methods* 80 COPD patients and 40 normal subjects underwent chest MSCT scans and all clinic data were analyzed retrospectively. All COPD patientsunderwentPFT were classified into mild group (n=26), moderate group (n=27), severe group (n=27) according to PET results respectively. The %CSA_{<5} mm² and 5-10 mm² for the lung area (called % CSA_{<5} and % CSA₅₋₁₀) of small pulmonary vessels were measured with Image J image-processing program. Comparison between the COPD subgroups and control group were carriedout with ANOVA test. The relationship between %CSAand PFT results was carriedout with the Spearman rankcorrelation test. Results The % CSA_{<5} in mild, moderate and severe COPD group were $(0.68 \pm 0.11)\%$, $(0.56 \pm 0.12)\%$, $(0.42 \pm 0.10)\%$, which were lower than that in control group (0.84 ± 0.13) %, and the difference were statistically significant (P<0.05). The difference were statistically significant among the COPD subgroups(P<0.05). The % CSA₅₋₁₀ in moderate and severe COPD group were (0.19 ± 0.09) %, (0.18 ± 0.06) %, which were lower than that in control and mild group $[(0.32 \pm 0.14)\%, (0.28 \pm 0.08)\%]$, and the difference were statistically significant (P<0.05). %CSA<5 in COPD patients correlated positively with both FEV1% and FEV1/FVC(r=0.982,0.988 P=0.018,0.012), and negatively with both RV and RV/TLC%(r=-0.946,-0.962 P=0.044,0.028). %CSA5-10in COPD patients correlated positively with both FEV1% and FEV1/ FVC(r=0.963,0. 0.975 P=0.037,0.025), and no correlation with RV and RV/TLC%. Conclusion The measurement of %CSA_{<5} and %CSA₅₋₁₀ in MSCT images were correlated with PFTs, and %CSA_{<5} was better than %CSA₅₋₁₀ which may play the role in evaluating the PFTs and severity of COPD patients.

[Key words] Pulmonary Disease; Chronic Obstructive; Respiratory Function Tests; Tomography, X-ray Computed

慢性阻塞性肺疾病(chronic obstructive pulmonary disease, COPD)是一种常见的呼吸系统慢性疾病,严重地危害了人类的健康,其具有气流受限不完全可逆的特征,且呈进行性发展,最终导致患者呼吸功能的严重受损[1]。因此早期诊断以及对疾病严重程度的评估对于COPD患者治疗方案的选择和预后有着十分重要的作用。目前COPD诊断及疾病严重程度的评估主要依靠肺功能检查,但是肺功能检查受主观影响较大,亦存在一定的局限性。随着高分辨率螺旋CT定量分析技术的不断进步,其不仅能反映肺组织结构的改变,还能定量分析患者肺小气道及血管改变的程度,从而对COPD的严重程度进行评估[2-6]。COPD患者由于肺气肿致肺小血管受到挤压、破坏以及缺氧等因素所致的肺小血管收缩使得肺小血管截面积(cross-sectional area, CSA)相应的减小。多项研究[7-9]证实COPD患者的肺小血管截面积可在高分辨率螺旋CT下进行定量分析,但是其与患者严重程度及肺功能指标的关系,目

前国内报道并不多见。本研究拟通过CT下定量分析肺小血管与肺截面积的比值与COPD患者肺功能指标的相关,以探讨CT定量分析肺小血管在评估COPD严重程度中的作用。

1 资料和方法

1.1 临床资料 将2014年05 月至2016年5月于我院门诊及住 院部收治的80例慢性阳塞性肺疾 病(COPD)患者纳入研究。纳入标 准: 1) COPD诊断标准与《慢性阻 塞性肺疾病(COPD)诊治指南》[1] 一致; 2)年龄<80岁, 3)均在治 疗前行肺部CT及肺功能检查。剔 除标准: 1) 既往有支气管哮喘、 肺癌病史,2)存在先天性胸廓畸 形, 3) 肺部合并大面积感染甚至 实变、严重肺间质纤维化及大量 胸腔积液者, 4)CT图像质量不佳 者,5)肺功能检查配合度差,结 果可信度差者。根据肺功能中两 项指标FEV1/FVC、FEV1%及症状对 COPD患者的严重程度进行分级, 轻度COPD其FEV1/FVC<70%, 而 FEV1%≥80%预计值,伴或者不伴 慢性症状:中度COPD其FEV1/FVC <70%, 而50%≤FEV1%<80%预计 值, 伴或者不伴有慢性症状: 重度COPD其FEV1/FVC<70%, 而 30%≤FEV1%<50%预计值,伴或者 不伴有慢性症状。 轻度COPD患者 (轻度组)共26例,其中男23例, 女3例, 平均年龄(66.46±8.75) 岁,中度COPD患者(中度组)共 27例, 其中男22例, 女3例, 平 均年龄(67.15±8.42)岁,重度 COPD患者(重度组)共27例,其 中男23例, 女4例, 平均年龄 (66.83±8.29)岁。对照组匹配选 择同期在我院体检中心行体检的 40例体检者,其中男32例,女8 例, 平均年龄(65.15±8.23)岁, 四组患者在性别、年龄等方面差 异无统计意义(P>0.05),具有一 定的可比性。

1.2 CT检查方法 采用 Philips Brilliance64排螺旋 CT扫描仪进行患者的胸部CT扫 描。检查前向患者详细讲解最 大吸气末方法,并对其进行训练 以达到最佳状态。在患者最大 吸气末时机行肺尖到肺底的迅 速扫描。扫描参数设定: 电压 为120kV, 电流为250mA, 层厚 为1mm, 螺距为0.813: 1, X线 球管的转速为0.42s/转,F0V为 350 mm×350mm, 采集矩阵为 512×512,扫描采集的层厚为 0.75mm, 图像重建层厚和层距均 为1mm。

1.3 %CSA的CT测量方 %CSA的CT测量方法参照文 献[10]:选取3个扫描层面,上层 为主动脉弓上缘1cm层面,中层 为气管隆凸下方1cm层面,下层 为右下肺静脉下方1cm层面。采 用一种半自动化的图像处理软件 (Image J Version 1.48g, Java 处理程序, 网络共享, 链接地 址http://rsb.info.nih.gov/ ii/)进行图像分析。首先在上 述每一层面上,用"Analyze Particles"这一功能获得肺小血 管的CSA。采用"Circularity" 这一功能分析垂直或者近乎垂 直于扫描层面的血管,将其值 设定在0.9~1.0之间。%CSA的 具体测定方法如下: 1) 首先采用 "Gaussian Blurring"这一功 能将图像噪声进行消除: 2) 然后 采用"threshold technique"

功能将图像中肺野的像素转化 为-1024~-500HU之间(图1); 3) 接着将转化好的肺野图像再次转 化为窗位为-720 HU的二进制影像 图像(图2)。分别在肺亚段及亚段 以下水平测量肺小血管的CSA, 同时将CSA 5 mm²定为亚段以下水 平的血管,而CSA在5~10mm²之间 的定为亚段水平的血管(图3); 4) 然后计算出上述3个层面上的 CSA总和,并将亚段以下水平肺 小血管的CSA总和标记为CSA5, 亚段肺小血管的CSA总和标记为 CSA5-10; 5) 最后规定图像的临界 值在-1024~-500HU之间,通过3 层的肺截面积之和计算出CSA<5及 CSA5-10与肺截面积之和的百分比 (标记为%CSA<5和%CSA5-10)。上述测 量由2名具有5年以上胸部CT诊断 经验的影像科医师进行(均不知晓 本研究内容),并取平均值作为最 终值。

1.4 肺功能检测 采用肺功 能测试系统[丹麦产Quark PFT1 型]测定患者的肺功能,主要测量 的指标为第1秒用力肺呼气量占预 计值百分比(forced expiratory volume in one second, FEV1%)、用力肺活量(forced vital capacity, FVC)、第1秒用 力肺呼气量占用力肺活量百分比 (FEV1/FVC%)、残气量(residual volume, RV)、残气量占最大肺总 量的百分比(residual volume/ total lung capacity, RV/ TLC%)。同一患者的肺功能测定均 在患者治疗前进行。

表1 不同程度COPD患者之间%CSA的比较(x±s)

组别	例数	%CSA<5	%CSA5-10
对照组	40	0.84 ± 0.13	0.32 ± 0.14
COPD组			
轻度组	26	$0.68 \pm 0.11*$	0.28 ± 0.08
中度组	27	$0.56 \pm 0.12*#$	$0.19 \pm 0.09*#$
重度组	27	$0.42 \pm 0.10*$ #&	0. $18 \pm 0.06*#$
F		3.11	2.85
P		0.038	0.046

注: *代表与对照组比较P<0.05, #代表与轻度组比较P<0.05, &代表与中度组比较P<0.05

	次2 1111年及00108月 — 111111 11111 11111 (X = 1)							
组别	例数	FEV1%	FVC	FEV1/FVC%	RV	RV/TLC%		
对照组	40	92. 67 ± 4. 86	3. 74 ± 0.41	78.26 ± 10.53	1.13 ± 0.12	30. 41 ± 5. 84		
COPD组								
轻度组	26	82. 16 ± 2. 11*	3. 41 ± 0.48	63. $34 \pm 8.27*$	1. $31 \pm 0.28*$	$36.62 \pm 5.62*$		
中度组	27	62. 34 ± 10. 33*#	$2.83 \pm 0.34*#$	$51.72 \pm 6.34*#$	1. $54 \pm 0.24*#$	42. 41 ± 3. 22*#		
重度组	27	41. 27 ± 8. 24*#&	$2.69 \pm 0.37*#$	37. 29 ± 8. 88*#&	1. $78 \pm 0.22*\#\&$	53.20 ± 4.67*#&		
F		3.975	3.86	3. 24	3. 91	3. 37		

表2 不同程度COPD患者之间肺功能指标的差异(x±s)

注: *代表与对照组比较P<0.05, #代表与轻度组比较P<0.05, &代表与中度组比较P<0.05

表3 COPD患者%CSA与肺功能指标的相关性

0.034

项目	FEV1%		FVC		FEV1	FEV1/FVC%		RV		RV/TLC%	
	r	P	r	P	r	P	r	P	r	P	
%CSA<5	0. 982	0.018	0.832	0. 186	0. 988	0. 012	-0.946	0. 044	-0.962	0. 028	
CSA_{5-10}	0.963	0.037	0.621	0.424	0.975	0.025	0.665	0.415	0.868	0.172	

1.5 统计学方法 采用 SPSS20.0统计软件进行分析,用 (x ±s)代表计量资料,多组计量资料间比较采用单因素方差分析,两组计量资料间比较采用 LSD-t检验,采用Pearson直线相关分析CT肺小血管与肺截面积比值与肺功能指标的相关性,以P <0.05为差异具有统计学意义。

2 结 果

2.1 不同程度COPD患者之间%CSA的比较 COPD轻度组、中度组以及重度组的%CSA<5为(0.68±0.11)、(0.56±0.12)、(0.42±0.10),显著低于对照组的(0.84±0.13),差异有统计学意义(P<0.05),且不同程度COPD患者之间的%CSA<6值均存在显著性差异(P<0.05);COPD中度组、重度组的%CSA5-10为(0.19±0.09)、(0.18±0.06),显著低于对照组和轻度组的(0.32±0.14)、(0.28±0.08),差异有统计学意义(P<0.05),见表1。

2.2 不同程度COPD患者之间 肺功能指标的差异 COPD患者与 健康人肺功能指标的比较见表3。

四对照组与COPD组患者的通 气功能指标差异有统计学意义, COPD组的FEV1%、FEV1/FVC%降低,且不同程度患者之间存在显著性差异(P<0.05),提示COPD患者均存在不同程度的阻塞性通气功能减退; COPD组的RV、RV/TLC%显著增加,且不同程度患者之间存在显著性差异(P<0.05),提示COPD患者存在不同程度的肺气肿,见表2。

2.3 COPD患者%CSA与肺功能 指标的相关性 COPD患者的%CSA65 与FEV1%、FEV1/FVC%呈显著正相 关(r=0.982, 0.988 P=0.018, 0.012),与RV和RV/TLC%呈显 著负相关(r=-0.946, -0.962 P=0.044, 0.028); COPD患者 的%CSA5-10与FEV1%、FEV1/FVC% 呈显著正相关(r=0.963, 0.0.975 P=0.037, 0.025),与FVC、RV和 RV/TLC%无显著相关性。见表3。

3 讨 论

肺血管的异常是COPD或者肺气肿患者进展到严重阶段的重要特点之一^[11],内皮细胞功能的异常在肺血管的改变以及肺气肿的形成过程中具有重要作用^[12]。此外长期的慢性COPD和严重肺气肿患者常常伴有肺动脉压力的增高以及右心功能不全。肺间质组织

的破坏导致的肺血管床的损毁以及缺氧、酸中毒引起的肺血管收缩亦可能是COPD患者肺动脉压力增加的主要原因之一^[13]。对COPD患者肺血管改变的定量分析也有可能预测肺动脉压力的变化。因此对于CT下定量分析肺血管的变化来评估COPD患者肺功能以及疾病严重程度具有一定的病理生理学基础。

0.014

0.022

从本研究结果来看, COPD患 者的%CSA、5和%CSA5-10与健康对照组 存在差异,不同程度的%CSA、5随着 疾病严重程度的增加而减小,说 明随着疾病的进展, COPD患者的 肺小血管床的破坏越严重, 肺小 血管的数量以及截面积越小,因 此使用CT定量分析测量%CSA<5在一 定程度上可以评估COPD的严重程 度,但%CSA5-10的变化却不显著。 说明在评估COPD疾病严重程度方 面%CSA<5优于%CSA5-10。这是由于CT 定量分析中定义的截面积小于5mm² 的肺小血管包括肌性血管和弹性 血管,而5~10mm²之间的肺小血管 基本上都是弹性血管,通常COPD 患者肺血管形态的改变主要影响 的是亚段以下的肌性血管[14]。小 气道的狭窄或阻塞是COPD病理生 理学上的重要特征之一, 其中的 小气道指的就是小于2mm的气道,



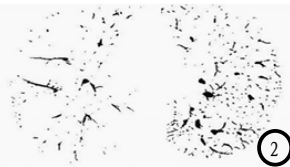




图1-3 使用Image J Version软件测量肺小血管的截面积(%CSA)。图1:将CT图像中肺野的像素转化为~1024HU——500HU之间。图2: 将转化后的CT图像再次转化为窗位—720HU的二进制图像,在二进制图像上,肺血管显示为黑色。图3: 分别在肺亚段及亚段以下水平测量肺小血管的CSA,同时将CSA。 mm^2 定为亚段以下水平的血管,而CSA在5~10 mm^2 之间的定为亚段水平的血管。

因而与之伴行的肺小血管截面积一般都小于5mm²,因此%CSA<5在反映COPD患者肺小血管的改变上较%CSA5-10明显。多项研究^[8-9,15]证实在评估肺气肿、肺动脉高压、肺灌注等方面%CSA<5优于%CSA5-10,与本研究结果相类似。

本研究在此基础上进一步研 究COPD患者的%CSA<5和%CSA5-10与 肺功能指标的相关性, 结果显 示%CSA<5和%CSA5-10与COPD患者的 FEV1% 和FEV1/FVC%均呈正相关, 同时%CSA<5与RV和RV/TLC%呈负相 关。随着COPD疾病的进展,患者 的外周小气道病变加重致气流受 限、肺泡过度充气形成肺气肿; 同时肺气肿形成时大量的肺泡周 围的的小血管受膨胀的肺泡挤压 出现退化和大量减少,因此COPD 患者出现阻塞性通气功能降低, 残气量增加、气道阻力增大。而 FEV1%和FEV1/FVC%是评估肺通气 功能的重要指标,RV和RV/TLC% 是评估残气量的重要指标。说明 肺小血管的减少与COPD患者肺功 能指标密切相关。王之悦等[16] 通过CT定量分析166例COPD患者 的%CSA<5和%CSA5-10并与其肺功能 指标进行相关性分析, 结果表明 COPD患者的%CSA<5和%CSA5-10与肺 功能的FEV1%和FEV1/FVC%均呈正 相关,与本研究结果一致。本研 究将对照组的研究对象均进行肺 功能检查,因此对%CSA<5和%CSA5-10与肺功能指标的相关性分析结 果相对较为可靠; 而且本研究不 仅探讨了肺功能指标中的FEV1%和 FEV1/FVC%,同时也探讨了RV和 RV/TLC%等指标与%CSA<5和%CSA5-10 的相关性, 较为全面。此外, 廖

艺璇等^[17]通过高分辨CT定量分析 肺血管指标,认为COPD患者CT定 量下肺小血管横截面积和肺动脉 直径与患者的肺功能以及加重频 率等临床指标密切相关,可以为 COPD患者的病情评估提供新的评 估依据。因此利用CT定量分析肺 小血管的截面积有可能作为评估 COPD患者肺功能及严重程度的新 的无创性指标。

综上所述,COPD患者的%CSA<5和%CSA5-10与COPD患者的肺功能有一定的相关性,且在评估COPD患者肺功能及疾病严重程度方面%CSA<5优于%CSA5-10,利用CT定量分析肺小血管的截面积有可能能准确的评估COPD患者的严重程度,具有重要的临床应用价值。

参考文献

- [1] 中华医学会呼吸病学分会慢性阻塞性肺疾病学组.慢性阻塞性肺疾病 诊治指南(2013年修订版)[J].中华 结核和呼吸杂志,2013,36(4):255-264
- [2] 方思月, 王剑. COPD的HRCT表现型 分型及其分析[J]. 中国CT和MRI杂 志, 2014, (7): 52-56.
- [3] 隋昕,宋伟,薛华丹,等. CT双相扫描 三维定量分析慢性阻塞性肺疾病CT 肺功能与常规肺功能的关系[J]. 中华放射学杂志, 2013, 47(5): 405-409.
- [4] 杨嘉雯, 陈正贤. 慢性阻塞性肺疾病患者胸部多层螺旋CT的气道壁径线与肺功能的关系[J]. 中山大学学报(医学科学版), 2011, 32(2): 246-252.
- [5] 周君, 刘文亚, 木合拜提·买合苏提等. 慢性阻塞性肺疾病呼吸双相高分辨CT肺定量指标与肺功能相关性[J]. 中华实用诊断与治疗杂志, 2013, 27(11): 1078-1081.
- [6] 马燕青, 范丽, 管宇等. COPD患者 PA管径与肺功能及CT肺容积参数

- 的相关性分析[J]. 临床放射学杂志, 2015, 34(2): 194-199.
- [7] 于楠,金晨望,李艳,等. CT定量分析观察慢性阻塞性肺疾病患者的肺小血管改变[J]. 中国医学影像技术, 2015, 31(2): 173-176.
- [8] Matsuura Y, Kawata N, Yanagawa N, et al. Quantitativeassessment of cross-sectional area of small pulmonary vesselsin patients with COPD using inspiratory and expiratoryMDCT[J]. Eur J Radiol, 2013, 82 (10):1804-1810.
- [9] Mets OM, de Jong PA, van Ginneken B, et al. Quantitative computed tomography in COPD: possibilities and limitations [J]. Lung, 2012, 190(2):133-145.
- [10] Matsuoka S, Washko GR, Yamashiro T, et al. Pulmonary hypertension and computed tomography measurement of small pulmonaryvessels in severe emphysema[J]. Am J Respir Crit Care Med, 2010, 181(3): 218-225.
- [11] 张伟, 谷明明, 孙璐璐, 等. COPD 大鼠肺血管重构与气管重塑的 实验研究[J]. 安徽医科大学学 报, 2013, 48 (3): 245-248.
- [12] 牛欢, 丁毅鹏. VEGF在COPD发病 机制中的研究进展[J]. 海南医学, 2015, (8): 1183-1186.
- [13] Wrobel JP, McLean CA, Thompson BR, et al. Pulmonary arterial remodeling in chronic obstructive pulmonary disease is lobe dependent [J]. Pulm Circ, 2013, 3(3):665-674.
- [14] Van Tho N, Wada H, Ogawa E, et al. Recent findings inchronic obstructive pulmonary disease by using quantitative computed tomography [J]. Respir Investig, 2012, 50(3): 78-87.
- [15] Matsuoka S, Yamashiro T, Matsushita S, et al.
 Relationshipbetween quantitative CT of pulmonary small vessels and pulmonary perfusion [J]. AJR Am J Roentgenol, 2014, 202 (4): 719-724
- [16] 王之悦, 祝因苏, 陈雪松等. 多层螺旋CT肺小血管与肺截面积比值评价慢性阻塞性肺疾病严重程度的作用[J]. 中华放射学杂志, 2016, (2): 86-90.
- [17] 廖艺璇, 陈亚红, 白宇, 等. 慢性阻塞性肺疾病CT肺血管定量指标的临床意义[J]. 中国呼吸与危重监护杂志, 2015, 14 (6): 529-533.

(本文编辑: 刘龙平)

【收稿日期】2017-06-07